

Relationship between Groundwater Resources and Quaternary Faults of Sirjan Plain Using Weight of Evidence Method

ARTICLE INFO

Article Type

Original Research

Authors

Mehrabi A.*¹ PhD,
Pourkhosravani M. ¹ PhD

How to cite this article

Mehrabi A, Pourkhosravani M. Relationship between Groundwater Resources and Quaternary Faults of Sirjan Plain Using Weight of Evidence Method. Geographical Researches Quarterly Journal. 2019;34(2):175-182.

ABSTRACT

Aims & Backgrounds The faults and tectonic structures have a major effect on groundwater resources. They create aquifers and control their path. Determination of the relationship between faults and groundwater resources can help to identify the new water resources. This study aimed to investigate the relationship between faults and groundwater resources of Sirjan plain, numerically.

Methodology The 1 km buffers around the faults were extracted using the weight of evidence method through providing the quaternary fault layer and the position of Qanats and wells of the Sirjan plain by GIS 8.0 software. In the next step, by performing the operation of overlaying of the Qanats and wells with the faults layer, the coefficients of weights of evidence method were calculated.

Findings The most correlation between the wells and faults was in the 1 km distance from the strike fault and the major correlation between the Qanats and faults was within 2 km distance from the strike fault. 65% of deep and semi-deep drilled wells in the Sirjan plain were affected by faults, while only 24% of the Qanats in this region were related to the faults.

Conclusion The quaternary faults have the nutrition potential of groundwater aquifers of Sirjan plain considering the arid and semi-arid climatic and geographic conditions of Sirjan plain, and increasing needs for water resources.

Keywords Faults; Groundwater Resources; Weight of Evidence Method; Sirjan Plain

CITATION LINKS

[Abassnejad & Shahidasht;2013] Vulnerability of Sirjan plain due to aquifer over ...; [Abdullahi & Pradhan; 2016] Sustainable Brownfields Land use change modeling using GIS-based weights-of- ...; [Agard, et al; 2005] Convergence history across Zagros (Iran), constraints from collisional and earlier ...; [Alaei Taleghani & SaeediKia; 2013] The role of geomorphologic factors in formation and nourishing of underground ...; [Aliabadi, et al; 2014] The role of active tectonics and tectonic lineaments in the development of underground aquifers in ...; [Alonso, et al; 2008] Lineament mapping for groundwater exploration using remotely sensed imagery ...; [Ammar & Kamal; 2018] Resistivity method contribution in determining of fault zone and hydro-geophysical characteristics of ...; [Armas;2012] Weights of evidence method for landslide susceptibility mapping Prahova, ...; [Azadikhah , et al, 2015] Formation of extensional basin in internal part of the Zag-Ros orogeny in west of ...; [Caranza;2009] Controls on mineral deposit occurrence inferred from analysis of their spatial pattern and spatial association with ...; [Dehbozorgi & Rezaie 2016] Quaternary active faults effect on the abundance of underground water resources in Maharlou ...; [Dortz, et al; 2011] Dating inset terraces and offset fans along the Dehshir Fault (Iran) combining ...; [Foroutan, et al; 2011] Late pleistocene-holocene right- slip rate of the Dehshir Fault, Central Iran ...; [Hashemi, et al; 2010] Investigating the role of major faults in controlling the frequency of groundwater ...; [Hernandez & Burbey;2012] Fault-controlled deformation and stress from pumping-induced ...; [Kazemi, et al; 2005] Investigation the effect of structural elements on the karst water resource abundance in ...; [Kiani & Yousefi; 2017] Effect of active faults in the groundwater level of Shaharchay basin in; [Mehrabi & Derakhshani; 2010] Generation of integrated geochemical-geological predictive model ...; [Mehrabi, et al; 2009] Spatial association of mineralization and fractures in meiduk porphyry copper ...; [Mehrnehad & Mehrshahi; 2005] Structural analysis and seismotectonics of Dashir ...; [Mohajjal, et al; 2003] Cretaceous-tertiary convergence and continental collision, Sanandaj-Sirjan zone, ...; [Najib, et al; 2013] Study of the effects of earthquake on observation wells and springs of Varzagan and ...; [Nespoli, et al; 2016] Modeling earthquake effects on groundwater levels: Evidences from ...; [Pamela, et al; 2017] Weights of evidence method for landslide susceptibility mapping in Takengon, central Aceh, ...; [Pourkermani & Arian; 1997] Seismotectonic ...; [Turner; 1997] Predictive GIS model for sediment-hosted gold deposits, North-Central ...; [Fan, et al; 2011] Weight of evidence method and its applications and ...; [Kerman Regional Water Company; 2017] Province water ...; [Kresic & Stevanovic;2009] Groundwater hydrology of ...

¹Department of Geography & Urban Planning, Faculty of Literature & Humanities, Shahid Bahonar University of Kerman, Kerman, Iran

*Correspondence

Address: Department of Geography, Shahid Bahonar University, Kerman, Iran

Phone: +98 (34) 31322326

Fax: +98 (34) 33257264

mehrabi@uk.ac.ir

Article History

Received: November 18, 2018

Accepted: March 03, 2019

ePublished: June 20, 2019

ارتباط بین منابع آب زیرزمینی و گسل‌های کواترنری دشت سیرجان با روش وزن‌های نشانگر

علی مهرابی*

گروه جغرافیا و برنامه‌ریزی شهری، دانشکده ادبیات و علوم انسانی، دانشگاه شهید باهنر کرمان، کرمان، ایران

محسن پورخسروانی

گروه جغرافیا و برنامه‌ریزی شهری، دانشکده ادبیات و علوم انسانی، دانشگاه شهید باهنر کرمان، کرمان، ایران

چکیده

اهداف و زمینه‌ها: گسل‌ها و ساختارهای تکتونیکی تأثیر عمده‌ای بر منابع آب زیرزمینی دارند و باعث هدایت و تشکیل سفره‌های آبی می‌شوند. تعیین میزان ارتباط بین آنها می‌تواند در شناسایی منابع آبی جدید کمک کند. هدف این پژوهش بررسی ارتباط بین گسل‌ها و منابع آب زیرزمینی دشت سیرجان به صورت کاملاً کفی و عدی بود.

روش‌شناسی: با استفاده از روش وزن‌های نشانگر و با تهیه لایه گسل‌های کواترنری و موقعیت قنوات و چاههای دشت سیرجان در محیط GIS، فواصل و حریم‌های یک کیلومتری اطراف گسل‌ها استخراج شد. در ادامه با انجام عملیات روی هماندازی لایه قنوات و چاهها روی لایه گسل‌های حریم‌دار، ضرائب مربوط به روش وزن‌های نشانگر محاسبه شد.

یافته‌ها: بیشترین ارتباط بین چاهها و گسل‌ها در فاصله یک کیلومتری از امتداد گسل بود و بیشترین ارتباط بین قنوات و گسل‌ها در فاصله ۲ کیلومتری از گسل‌ها به دست آمد. ۶۵٪ از چاههای عمیق و نیمه عمیق حفرشده در دشت سیرجان تحت تأثیر گسل‌ها قرار داشتند، درحالی‌که تنها ۲۵٪ از قنوات در این منطقه مرتبط با گسل‌ها بودند.

نتیجه‌گیری: گسل‌های کواترنری، پتانسیل تغذیه سفره‌های آب زیرزمینی دشت سیرجان با توجه به شرایط اقلیمی و جغرافیایی خشک و نیمه‌خشک آن و افزایش نیازهای روزافزون به منابع آبی بیشتر را دارد.

کلیدواژه‌ها: گسل، منابع آب زیرزمینی، روش وزن‌های نشانگر، دشت سیرجان

تاریخ دریافت: ۹۷/۸/۲۷

تاریخ پذیرش: ۹۷/۱۲/۱۲

توبیخنده مسئول: mehrabi@uk.ac.ir

مقدمه

عوامل ژئومورفوژئی و زمین‌شناختی تأثیر عمده‌ای بر منابع آب زیرزمینی دارند، گسل‌ها از بین این عوامل، نقش مهم‌تری دارند، به طوری‌که با ایجاد جابجایی در توالی لایه‌ها باعث هدایت آب‌های زیرزمینی و تشکیل سفره‌های آبی می‌شوند. علاوه بر آن شکستگی‌ها نقش مهمی در نفوذ آب‌های جاری به درون زمین شده و درنتیجه بر کمیت و کیفیت منابع آب زیرزمینی تأثیر می‌گذارند [Hashemi et al., 2010]

دشت سیرجان دارای اقلیم گرم و خشک است، با توجه به گستره فعلیت کشاورزی، مخصوصاً کاشت درختان پسته از یک طرف و خشکسالی‌های رخداده در چند دهه اخیر از طرف دیگر، باعث افت شدید منابع آب زیرزمینی در محدوده موردهای دشت شده است [Abassnejad & Shahidasht, 2013] و با توجه به ارتباط

شدید اقتصاد منطقه به کشاورزی، بحث شناخت منابع آبی جدید در این منطقه بسیار حیاتی بوده و درنتیجه شناخت عوامل مؤثر بر حوضه آبهای زیرزمینی ازجمله عامل تکتونیک بسیار اهمیت می‌یابد. به طوری‌که با تعیین میزان ارتباط بین منابع آبی و گسل‌های کواترنری موجود در دشت سیرجان، می‌توان علاوه بر پتانسیل یابی منابع آبی جدید، تأثیر فعالیت احتمالی گسل‌ها را بر روی حوضه آبریز مذکور مورد بررسی قرارداد.

مطالعات تکتونیکی انجام گرفته اخیر، بر روی دشت سیرجان [Dortz et al, 2011; Azadikhahi et al, 2015] نشان می‌دهد که رژیم کشنی ناشی از گسل‌های اصلی محصورکننده دشت، عامل اصلی شکل‌گیری آن می‌باشد. بنابراین تأثیر و نقش عامل تکتونیک در پیدایش و تحول بسیاری از پدیده‌های زمین‌شناختی و ژئومورفوژئی منطقه ازجمله منابع آب زیرزمینی، بسیار محتمل است.

تاكون مطالعات زیادی در زمینه تأثیر و ارتباط بین شکستگی‌ها و عناصر ساختاری با منابع آب زیرزمینی انجام گرفته است [Hashemi et al, 2010; Kiani & Yousefi, 2017; Carla et al, 2008; Hernandez & Burbey, 2012; Ammar & Kamal 2018;] ولیکن تکیه بیشتر این مطالعات صرفاً بر روی بررسی شواهد ظاهری بوده و تحلیل‌های انجام گرفته جنبه کیفی و توصیفی دارد، به طور مثال کاظمی و همکاران [Kazemi et al, 2005] بررسی نقش عوامل ساختاری در فراوانی منابع آب در منطقه کارستی کارخانه از دور و GIS پرداختند. نتایج تحقیقات نشان می‌دهد که رابطه نزدیکی بین فراوانی چشممه‌ها و فاصله از عناصر تکتونیکی وجود دارد و همچنین تبعیت روند کلی عناصر تکتونیکی و خطواره‌ها با شبکه هیدرولوژی و مشاهده تمرکز عوارض کارستی در امتداد کلی عناصر تکتونیکی نشان‌دهنده نقش اساسی عناصر تکتونیکی در هیدرولوژی منطقه است. کیانی و یوسفی [Kiani & Yousefi, 2017] نقش گسل‌های فعال را در ارتباط با سطح تراز آب‌های زیرزمینی حوضه آبریز شهر چای-دشت ارومیه را مورد تحلیل و بررسی قرار داده‌اند، نتایج مطالعات نشان می‌دهد که الگوی حرکت آب زیرزمینی کاملاً متأثر از گسل‌های کواترنری فعال منطقه است. همچنین دهبرگی و رضایی [Dehbozorgi & Rezaie, 2015] با مطالعه گسل‌های کواترنری فعال و وضعیت فراوانی قنوات و آبدهی چاهها حوضه مهارلو در زاگرس مرکزی، به روند نسبتاً خطی چاهها در راستای گسل‌ها اشاره داشته و یا اینکه اختلاف فاحش آبدهی چاهها در پهنه گسلی را دلیل بر ارتباط بین گسل‌ها و منابع آبی منطقه می‌دانند و یا علی‌آبادی و همکاران [Aliabadi et al, 2014] نقش زمین‌ساخت فعال و خطواره‌های تکتونیکی در پیدایش سفره‌های آب زیرزمینی در دشت سبزوار مورد بررسی قرار دادند، طبق نتایج، ارتباط تنگاتنگی بین خطواره‌های گسلی و منابع آب زیرزمینی وجود دارد و این ارتباط تنها با روی هماندازی لایه گسل‌ها و لایه موقعیت چاهها و قنوات و مشاهده ظاهری به دست آمده است.

ارتباط بین منابع آب زیرزمینی و گسل‌های کواترنری دشت سیرجان با روش وزن‌های نشانگر ۱۷۷
قطر ذرات و نفوذپذیری سفره کاهش می‌یابد. ضخامت سفره در
قسمت شمال شرقی و جنوب دشت بیش از سایر مناطق بوده و [Abassnejad & Shahidasht, 2013]
به طرف ارتفاعات و حاشیه غربی به حداقل می‌رسد. عمدۀ تغذیه سفره آبرفتی سیرجان توسط
ارتفاعات بخش شمال شرقی-شرق و جنوب شرقی به ویژه آهک‌های
متعلق به دوران سوم زمین‌شناسی صورت می‌گیرد. جهت کلی
جیان آب زیرزمینی دشت نیز از سمت شمال شرقی و شرق به سمت
جنوب و جنوب‌غربی است [Abassnejad & Shahidasht, 2013]. براساس داده‌های اخذشده از شرکت سهامی آب و منطقه‌ای
کرمان (۱۳۹۶)، تعداد ۱۰۸۷ حلقه چاه عمیق و نیمه عمیق و تعداد
۹۳ حلقه قنات در محدوده دشت سیرجان وجود دارد (شکل ۳).

روش وزن‌های نشانگر

ارتباط مکانی بین موقعیت چاهها و قنوات با گسل‌ها با استفاده از روش وزن‌های نشانگر [Carranza 2009] مورد تجزیه و تحلیل قرار گرفت. این روش تاکنون در مطالعات و تحقیقات جغرافیایی متفاوت و مختلفی مورد استفاده قرارگرفته است [Mehrabi & Derakhshani, 2010; Mehrab et al, 2009; Armas, Pamela et al, 2012; Abdullahi & Pradhem, 2016; 2017] البته پایه ریاضی این تکنیک پیچیده بوده و در این تحقیق از نوع ساده این روش، که توسط ترزر ارایه شده (۱۹۹۷)، استفاده می‌شود. مبنای این روش بر حضور یک پدیده نقطه‌ای (مانند موقعیت چاهها و قنوات) در یک محدوده می‌باشد، که این محدوده می‌تواند فواصل مشخص از گسل‌ها عمل می‌کند. این وزن‌ها به صورت $W+$ (وزن‌دهی به پدیده‌های درون محدوده (DP)) و $W-$ (وزن‌دهی به پدیده‌های بیرون از محدوده (DA)) می‌باشند. باید توجه کرد $T = DP + DA$ و کل محدوده ایست که مطالعه شده است. ارتباط مکانی بین مجموعه نقاط و محدوده‌های دوتابی را با توجه به رابطه زیر می‌توان مشخص نمود:

ارتباط مکانی مثبت اگر:

$1 > (درصد کل مساحت درون محدوده) / (درصد پدیده‌های قرارگرفته در درون محدوده)$

ارتباط مکانی منفی اگر:

$1 < (درصد کل مساحت درون محدوده) / (درصد پدیده‌های قرارگرفته در درون محدوده)$

اما به دلیل اینکه مساحت پدیده‌ها بسیار کوچک‌تر از محدوده‌های است که درون آن قرار دارند، برای نمایش تغییرات، روابط بالا به صورت لگاریتمی ارایه می‌شود.

$= W+ \text{لگاریتم} (درصد پدیده‌های درون محدوده) / (درصد کل مساحت درون محدوده)$

$= W- \text{لگاریتم} (درصد پدیده‌های بیرون محدوده) / (درصد کل مساحت$

هدف این پژوهش بررسی ارتباط بین گسل‌ها و منابع آب زیرزمینی دشت سیرجان به صورت کاملاً کمی و عددی با استفاده از روش وزن‌های نشانگر بود.

روش‌شناسی

در این پژوهش به منظور تجزیه و تحلیل و دستیابی به اهداف مورد نظر، ضمن تهیه اطلاعات مربوط به موقعیت چاهها و قنوات منطقه، داده‌های مربوط به گسل‌های منطقه نیز تهیه و برای آماده‌سازی و انجام تحلیل‌های نهایی از نرم‌افزارهای ArcGIS 10.3، ENVI 5.3 و افزونه SDM استفاده شد. شرط کار با داده‌ها و لایه‌های اطلاعاتی مذکور این است که ابتدا این لایه‌های از فرمت بردار به فرمت رستر تبدیل شوند.

دشت سیرجان در بخش غربی استان کرمان و در مختصات جغرافیایی 57° و 54° تا 26° و 56° طول شرقی و 42° و 28° تا 58° عرض شمالی قرارگرفته است (شکل ۱). در سمت شمال شرق به کمریند آتشفشنای ایران مرکزی و از سمت غرب به کله نمکی سیرجان منتهی می‌شود. اقتصاد این منطقه بر پایه فعالیت در بخش کشاورزی استوار است به طوری که حدود ۹۸٪ از حجم آب برداشت‌شده از سفره آب زیرزمینی صرف فعالیت‌های کشاورزی به خصوص باغات پسته می‌شود.

گسل‌های منطقه

از نظر ایالت‌های زمین‌شناختی، دشت سیرجان جزء کمریند دگرگونی سنندج-سیرجان محسوب می‌شود [Pourkermani & Arian, 1997; Agard et al, 2005]; کمریند دگرگونی سنندج-سیرجان در راستای شمال غرب-جنوب شرق به موازات زاگرس امتداد یافته است و تشکیل و تحول آن نیز همانند زاگرس، درنتیجه برخورد صفحات تکتونیکی عربستان به ایران است [Mohajjel et al, 2003]. جدیدترین مطالعات انجام‌گرفته بر روی دشت سیرجان [Azadikhah et al, 2015] تشکیل آن را در اثر کشش ناشی از گسل‌های محصورکننده دشت می‌داند و این دشت را فرو چاله‌ای تکتونیکی در نظر می‌گیرد. زون گسلی شهریابک که خود شاخه‌ای از زون گسلی دهشیر است [Mehrnehad & Mehrshahi, 2005] از مهم‌ترین گسل‌های محصورکننده دشت سیرجان است. گسل‌های گل‌گهر-خیرآباد و شهریابک ۲ که منشعب شده از گسل شهریابک هستند، باعث افتادگی دشت سیرجان شده‌اند [Foroutan et al, 2011; Azadikhah et al, 2015; Dörzt et al, 2011]. ۲. بنابراین می‌توان ایجاد و توسعه سفره‌های آب زیرزمینی دشت را متأثر از وجود گسل‌ها دانست و ارتباط بین آنها محتمل است.

منابع آب زیرزمینی منطقه

سفره آبرفتی دشت سیرجان از نوع آزاد بوده و آبرفت‌های دوره کواترنر ساختمان اصلی آن را تشکیل می‌دهد. رسوبات نواحی شمالی دشت درشت‌دانه و دارای تخلل مفید و نفوذپذیری بالا و به سمت نواحی غربی و جنوبی با فاصله‌گرفتن از محورهای رسوب‌گذاری به تدریج

پس از وزن دهی، واریانس وزن ها از طریق فرمول زیر محاسبه می گردد:

$$s^2(w+) = \frac{1}{mD_p} + \frac{1}{bD_p}$$

$$s^2(w-) = \frac{1}{mD_A} + \frac{1}{bD_A}$$

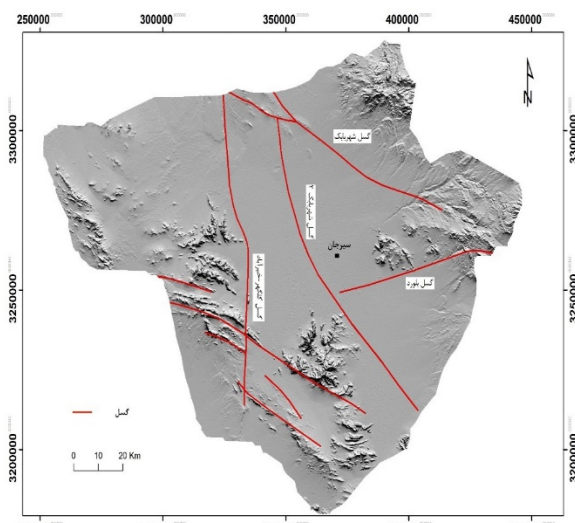
در فرمول بالا mDP تعداد پیکسل های (کوچکترین واحد سازنده تصویر) درون محدوده که شامل موقعیت چاه یا قنات است. bDP تعداد پیکسل های که بدون موقعیت چاه یا قنات بوده ولی درون محدوده است. سپس برای هر محدوده دوتایی ضریب تباین (C) از رابطه زیر به دست می آید:

$$C = (W+) - (W-)$$

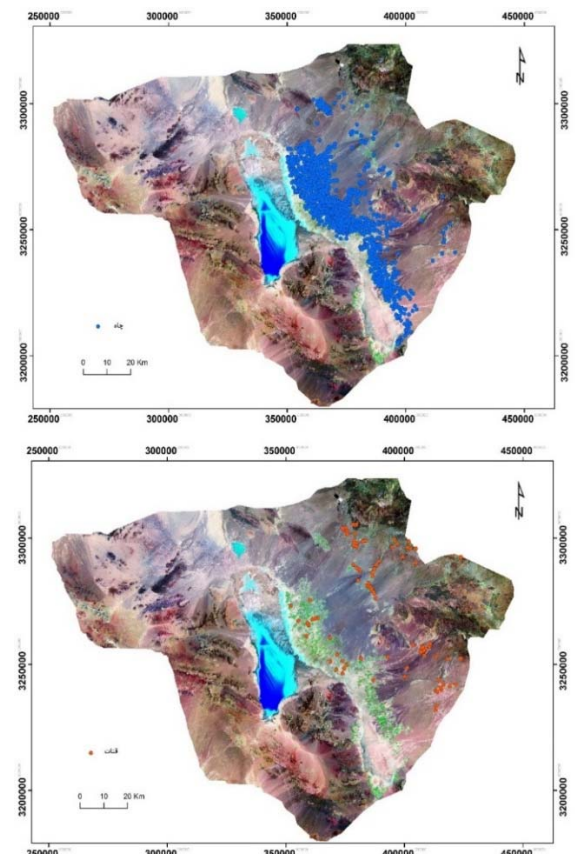
سپس انحراف معیار را محاسبه نموده :

$$s(C) = \sqrt{s^2(W+) + s^2(W-)}$$

در مواردی که نقاط و رخمنونها نسبتاً کم باشند (مانند تحقیق پیش رو) نسبت C/S(C) مبنای کار قرار می گیرد [Carranza 2009]، این نسبت به عنوان آزمون غیررسمی با فرض صفر = C عمل می کند تا زمانی که این نسبت به طور نسبی زیاد باشد دال بر این است که کنترast در مقایسه با انحراف استاندارد زیاد است درنتیجه کنترast به واقعیت نزدیکتر است. از نظر تئوری، اگر مقدار این نسبت از ۱/۵ یا ۲ بالاتر باشد، ارتباط بین دو متغیر مطلوب است. به خاطر فرض های لازم برای آزمون آماری رسمی، به ویژه مسیله وابستگی (Cs) بر روی واحد های اندازه گیری بهترین راه استفاده از این تناسب نه به طور مطلق بلکه به طور نسبی است. بر این اساس هر چه مقدار نسبت به دست آمده بالا، بزرگ تر باشد ارتباط مکانی مطلوب تر بوده به طوری که حداقل نسبت به دست آمده برای یک محدوده ارتباط مکانی مطلوب تری را برای آن محدوده می توان در نظر گرفت.



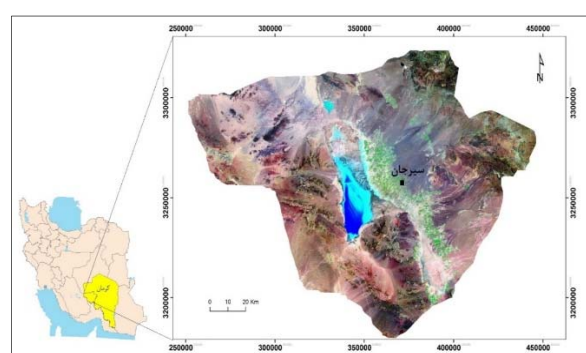
شکل ۲) گسل های کواترنری فعال در دشت سیرجان



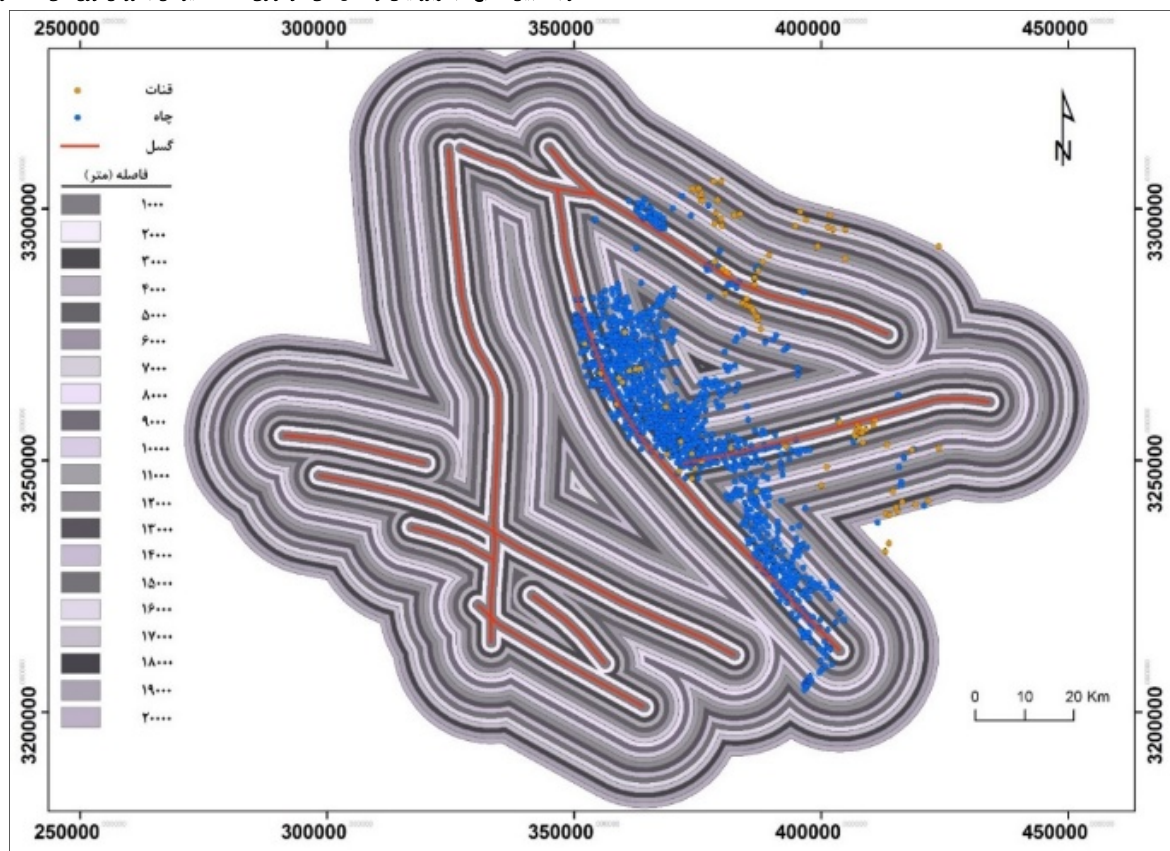
شکل ۳) موقعیت قنوات و چاه های واقع در دشت سیرجان

یافته ها

به منظور انجام روش وزن های نشانگر، ۲۰ حريم ۱۰۰۰ متری دور تادر گسل ها ترسیم شد (شکل ۴). انتخاب ۲۰ حريم به جهت پوشش کامل نقاط مربوط به چاهها و قنوات می باشد. موقعیت ظاهری چاهها و قنوات تقریباً با روند گسل ها پیروی می کند و جهت یافتن گذارد. بنابراین به طور ظاهری ارتباط بین گسل ها و منابع آب زیرزمینی در منطقه مورد مطالعه مشهود است.



شکل ۱) موقعیت جغرافیایی دشت سیرجان در استان کرمان



شکل ۴) فواصل ۱۰۰۰ متری اطراف گسل‌ها، و موقعیت قنوات و چاه‌ها نسبت به آن

گسل‌ها محاسبه شد (جدول ۲).

جدول ۱) تغییرات وزن‌ها و تباين‌ها برای فواصل تجمعی از امتداد گسل‌ها نسبت به موقعیت چاه‌ها

C/s (C)	S (C)	C	S (W-)	W-	S (W+)	W+	تعداد نقاط	فاصله (متر)
۱۰/۷۶	۰/۰۸۹	۰/۹۶	۰/۰۳۳	-۰/۰۹۸	۰/۰۸۳	۰/۰۸۶	۱۶۴	۱۰۰۰
۹/۷۲	۰/۰۹۲	۰/۰۸۳	۰/۰۳۳	-۰/۰۸۳	۰/۰۸۶	۰/۰۷۷۰	۱۰۱	۲۰۰۰
۴/۷۹	۰/۱۰۵	۰/۰۴۰۳	۰/۰۳۲	-۰/۰۳۶	۰/۰۱۰۰	۰/۰۴۱۶	۱۰۸	۳۰۰۰
۳/۷۶	۰/۱۰۹	۰/۰۴۱۱	۰/۰۳۲	-۰/۰۳۱	۰/۰۱۰۴	۰/۰۳۷۹	۱۰۰	۴۰۰۰
۲/۷۰	۰/۱۱۶	۰/۰۳۳۱	۰/۰۳۲	-۰/۰۲۲	۰/۰۱۱۱	۰/۰۴۹۹	۸۶	۵۰۰۰
۴/۴۳	۰/۱۱۰	۰/۰۴۹۲	۰/۰۳۲	-۰/۰۳۰	۰/۰۱۰۶	۰/۰۴۰۷	۹۷	۶۰۰۰
۱/۰۱	۰/۱۲۷	۰/۰۱۲۹	۰/۰۳۲	-۰/۰۰۷	۰/۰۱۲۳	۰/۰۱۲۱	۷۰	۷۰۰۰
۱/۴۶	۰/۱۲۳	۰/۰۲۴۲	۰/۰۳۲	-۰/۰۱۰	۰/۰۱۱۹	۰/۰۲۲۷	۷۵	۸۰۰۰
۰/۰۹	۰/۱۳۴	۰/۰۷۹	۰/۰۳۲	-۰/۰۰۴	۰/۰۱۳۰	۰/۰۰۷۰	۶۲	۹۰۰۰
۰/۰۳	۰/۱۳۷	۰/۰۷۳	۰/۰۳۲	-۰/۰۰۳	۰/۰۱۳۴	۰/۰۰۷۹	۵۹	۱۰۰۰۰
-۳/۰۲	۰/۱۸۲	-۰/۰۰۱	۰/۰۳۱	۰/۰۲۱	۰/۰۱۷۹	-۰/۰۰۴۹	۳۲	۱۱۰۰۰
-۴/۳۹	۰/۲۴۰	-۱/۰۰۵	۰/۰۳۱	۰/۰۳۰	۰/۰۲۳۸	-۱/۰۲	۱۸	۱۲۰۰۰
-۳/۲۱	۰/۲۰۵	-۰/۷۶۱	۰/۰۳۱	۰/۰۲۱	۰/۰۲۰۳	-۰/۶۴	۲۵	۱۳۰۰۰
-۳/۹۹	۰/۲۴۰	-۰/۹۶۰	۰/۰۳۱	۰/۰۰۶	۰/۰۲۳۸	-۰/۰۹۳۴	۱۸	۱۴۰۰۰
-۴/۷۰	۰/۳۱۹	-۱/۰۰۲	۰/۰۳۱	۰/۰۲۲	۰/۰۳۱۸	-۱/۴۸	۱۰	۱۵۰۰۰
-۴/۸۶	۰/۴۱۱	-۱/۰۹۹	۰/۰۳۱	۰/۰۲۴	۰/۰۴۰۹	-۱/۹۶	۶	۱۶۰۰۰
-۴/۰۹	۰/۰۷۹	-۲/۶۶	۰/۰۳۱	۰/۰۶	۰/۰۵۷۸	-۲/۶۲	۳	۱۷۰۰۰
						۰	۱۸۰۰۰	
-۳/۷۳	۱/۰۰	-۳/۷۳	۰/۰۳۱	۰/۰۳۷	۱/۰۰	-۳/۶۹	۱	۱۹۰۰۰
-۳/۳۷	۱/۰۰	-۳/۷۳	۰/۰۳۱	۰/۰۳۷	۱/۰۰	-۳/۷۰	۱	۲۰۰۰۰

ولیکن جهت کمی سازی این ارتباط، از روش وزن‌های نشانگر استفاده شد. بدین منظور با انجام عملیات روی هماندازی لایه قنوات و چاه‌ها در محیط GIS به طور جداگانه بر روی لایه گسل‌های حریم دار، تعداد نقاط در درون و بیرون محدوده‌های دوتایی (فواصل مختلف از گسل‌ها) شمارش شده و سپس با استفاده از معادلات Studentized C و C/s (C) ذکر شده در بخش روش تحقیق، ضرایب C و C/s (C) محاسبه می‌شود، در نهایت تغییرات وزن‌ها و تباين‌ها برای فواصل تجمعی از امتداد گسل‌ها نسبت به موقعیت چاه‌ها و قنوات محاسبه شد. همان‌طور که در جدول ۱ مشاهده می‌شود، بالاترین ضریب C/s (C) به دست آمد ۱۰/۷۶ و متعلق به فاصله ۱۰۰۰ متری از گسل بود، برای فاصله ۲ کیلومتری از گسل ۹/۷۲ به دست آمد و با افزایش فاصله از گسل این ضریب نیز کاهش یافت. با توجه به اینکه در روش وزن‌های نشانگر کلاسی که بالاترین ضریب C/s (C) را به دست آورد دارای بیشترین ارتباط مکانی با پیدیده نقطه‌ای است. پس می‌توان فاصله از ۱۰۰۰ متری از گسل‌ها را بسیار مرتبط با چاه‌های منطقه موردمطالعه دانست و با دور شدن از گسل‌ها این ارتباط نیز کاهش یافته تا اینکه از فاصله ۶۰۰۰ متری به بعد اساساً هیچ‌گونه ارتباطی را نمی‌توان متصور شد، زیرا بعد از این فاصله ضرایب کمتر از ۲ شده و طبق اصول روش وزن‌های نشانگر برای آن فواصل هیچ‌گونه رابطه معنی‌داری قابل تصور نبود (جدول ۱).

برای تعیین ارتباط بین موقعیت قنوات منطقه موردمطالعه با گسل‌ها، تغییرات وزن‌ها و تباين‌ها برای فواصل تجمعی از امتداد

جدول (۲) تغییرات وزن‌ها و تباين‌ها برای فوائل تجمعي از امتداد گسل‌ها نسبت به موقعیت قنوات

C/s (C)	S (C)	C	S (W)	W-	S (W+)	W+	فاصله نقطه (متر)	تعداد
۱/۶۰	۰/۳۳۶	۰/۵۳۹	۰/۱۱۲	-۰/۰۴۷	۰/۳۱۷	۰/۴۹۲	۱۰	۱۰۰۰
۲/۷۸	۰/۳۰۱	۰/۸۳۸	۰/۱۱۴	-۰/۰۸۵	۰/۲۷۸	۰/۷۰۲	۱۳	۲۰۰۰
۱/۲۲	۰/۳۰۲	۰/۴۲۲	۰/۱۱۱	-۰/۰۳۵	۰/۳۳۴	۰/۳۹۶	۹	۳۰۰۰
-۰/۳۴	۰/۴۶۱	-۰/۱۶۰	۰/۱۰۸	۰/۰۰۹	۰/۴۴۸	-۰/۱۰۰	۰	۴۰۰۰
۰/۲۷	۰/۴۲۳	۰/۱۱۶	۰/۱۰۹	-۰/۰۰۷	۰/۴۰۹	۰/۱۰۸	۷	۰۰۰۰
-۰/۹۹	۰/۵۸۸	-۰/۰۸۷	۰/۱۰۷	۰/۰۲۶	۰/۰۷۸	-۰/۰۶۱	۳	۶۰۰۰
-۰/۹۷	۰/۰۸۸	-۰/۰۷۲	۰/۱۰۷	۰/۰۲۰	۰/۰۷۸	-۰/۰۴۷	۳	۷۰۰۰
-۰/۰۱	۰/۴۶۱	-۰/۰۰۳	۰/۱۰۸	۰/۰۱	۰/۴۴۸	-۰/۰۰۳	۵	۸۰۰۰
-۰/۸۳	۰/۰۸۸	-۰/۰۴۸۹	۰/۱۰۷	۰/۰۲	۰/۰۷۸	-۰/۰۴۸	۳	۹۰۰۰
۰/۲۰	۰/۴۶۱	۰/۰۹۳	۰/۱۰۸	۰/۰۱۱	۰/۴۴۸	۰/۰۰۸۸	۵	۱۰۰۰۰
-۰/۱۹	۰/۰۱۲	-۰/۱۰۱	۰/۱۰۸	-۰/۰۱۱	۰/۰۵۱	-۰/۰۹۷	۴	۱۱۰۰۰
۱/۰۰	۰/۳۹۵	۰/۰۹۴	۰/۱۱۰	-۰/۰۳۱	۰/۳۷۹	۰/۰۰۸	۷	۱۲۰۰۰
-	-	-	-	-	-	-	۰	۱۳۰۰۰
-	-	-	-	-	-	-	۰	۱۴۰۰۰
۰/۸۲	۰/۷۶۱	-۰/۰۸۵	۰/۱۰۶	۰/۰۱۷	۰/۷۰۸	-۰/۰۵۷	۲	۱۰۰۰۰
-۰/۲۱	۰/۵۸۸	-۰/۱۲۳	۰/۱۰۷	۰/۰۰۴	۰/۰۷۸	-۰/۱۱۹	۳	۱۶۰۰۰
-۰/۱۰	۰/۰۸۸	-۰/۰۸۸	۰/۱۰۷	۰/۰۰۲	۰/۶۷۸	-۰/۰۸۰	۳	۱۷۰۰۰
-۰/۶۸	۰/۷۱۶	-۰/۴۸۷	۰/۱۰۶	۰/۰۱۳	۰/۰۷۰۸	-۰/۴۷۳	۲	۱۸۰۰۰
۰/۴۷	۰/۰۱۲	۰/۲۴۲	۰/۱۰۸	۰/۰۰۹	۰/۰۵۱	۰/۲۳۳	۴	۱۹۰۰۰
-۰/۱۱	۰/۰۸۸	-۰/۰۶۱	۰/۱۰۷	۰/۰۰۲	۰/۰۷۸	-۰/۰۰۹	۳	۲۰۰۰۰

بالاترین ضریب C/S(C) به دست آمده عدد ۲/۷۸ و متعلق به فاصله ۱/۶ متری از گسل بود و برای فاصله یک کیلومتری از گسل به دست آمد. بنابراین قنوات با کلاس ۲ کیلومتری از گسل‌ها ارتباط مطلوب‌تری داشتند تا فاصله ۱۰۰۰ متری و از فاصله ۲۰۰۰ متری به بعد دیگر هیچ‌گونه ارتباط معنی‌داری وجود نداشت.

بحث

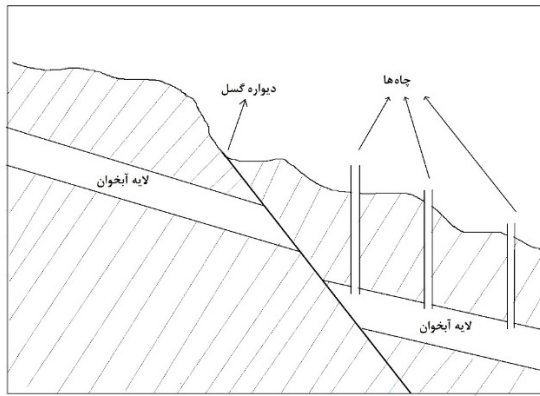
وجود ارتباط بین عوامل ساختاری، شکستگی‌ها و گسل‌ها با منابع آب زیرزمینی مشخص است. شکستگی‌ها باعث نفوذ آب‌های سطحی به درون زمین شده و از طرف دیگر گسل‌ها با جابجایی لایه‌های زیرزمینی باعث تشکیل سفره‌های آب زیرزمینی می‌شوند. اما آنچه در این تحقیق انجام گرفته نشان دادن این ارتباط با مدل آماری و به صورت کمی است. در راستای اعمال روش وزن‌های نشانگر نقشه گسل‌های کواترنری، چاه‌ها و قنوات موجود در دشت سیرجان در محیط GIS به لایه‌های رسترن تبدیل شده و با استفاده از افزونه SDM وزن‌ها و ضرایب مربوطه محاسبه شد. براساس ضرایب به دست آمده از روش وزن‌های نشانگر، بیشترین ارتباط قنوات و گسل‌ها در دشت سیرجان به ترتیب در فواصل ۲ و یک کیلومتری از امتداد گسل‌ها برقرار است، همچنین بیشترین ارتباط بین چاه‌های منطقه و گسل‌ها در فاصله یک کیلومتری امتداد گسل بوده و از آنجایی که بر اساس روش وزن‌های نشانگر اگر ضریب C/S(C) به دست آمده برای فوائل مختلف، بیشتر از ۲ به دست آمده

باشد، ارتباط مکانی مثبتی بین چاه‌ها و گسل‌ها وجود دارد درنتیجه بر اساس جدول ۱ این ارتباط تا ۶ کیلومتری نیز ادامه دارد. همچنین گسل‌ها توانسته‌اند به طور مستقیم و غیرمستقیم، با ایجاد جابجایی در رسوبات آبرفتی کواترنر، باعث نفوذ آب در زیرزمین و برونداد آن از طریق قنوات و چاه‌ها بشوند. علاوه بر نتایج به دست آمده از روش وزن‌های نشانگر که به صورت کمی می‌بین وجود ارتباط بین چاه‌ها و قنوات دشت سیرجان است، عوامل توپوگرافی متفاوتی نظیر شب زمین و وجود مخروط افکنه‌ها متعدد، نیز می‌تواند در تغذیه سفره آب زیرزمینی دشت مؤثر باشد. نتایج به دست آمده از این تحقیق نشان می‌دهد که از کل تعداد قنوات موجود در دشت سیرجان تحت تأثیر گسل‌های کواترنری در منطقه بوده و در حالی که از چاه‌های حفر شده در دشت سیرجان متأثر از گسل‌ها است. مقایسه نتایج کمی و آماری به دست آمده از این تحقیق، مؤید مطالعات کیفی و توصیفی پیشین بوده و باهم مطابقت دارند.

آنچه از نتایج تحقیق پیماید، به طور کلی قنوات و چاه‌ها هر دو با گسل‌های منطقه مرتبط هستند، ولیکن در میزان و کمیت این ارتباط، کمی تفاوت وجود دارد. به طوری که اولاً ارتباط مطلوب چاه‌ها دقیقاً بلافاصله از مرز گسل‌ها شروع شده ولی در مورد قنوات این ارتباط مطلوب از فاصله هزار متری از گسل شروع می‌شود، ثانیاً در مورد چاه‌ها ارتباط مطلوب تا فاصله ۶ کیلومتری از گسل‌ها با وجود اینکه کمتر می‌شود ولی ادامه دارد، درحالی که ارتباط قنوات با گسل‌های منطقه تنها در همان فاصله ۲ کیلومتری از گسل‌ها قابل دریابی است و بعد از آن بر اساس این مدل آماری ارتباطی وجود ندارد. بنابراین طبق جدول شماره ۲، از بین ۹۳ حلقه قنات موجود در منطقه موردمطالعه، تنها تعداد ۲۳ قنات (۲۵٪) متأثر از گسل بوده و ساختاری گسلی دارند درحالی که تعداد ۷۰۶ حلقه از ۱۰۸۷ حلقه چاه (۶۵٪) حفر شده در دشت سیرجان گسلی بوده یعنی آبخوان آن درنتیجه عملکرد گسل تشکیل شده است. درنتیجه با توجه به اینکه زلزله‌ها می‌توانند اثرات مخرب و گاهی اوقات سازنده بر روی قنوات و آبدیه چاه‌ها داشته باشند; [Najib et al, 2013; Nespoli et al, 2016] دشت سیرجان، می‌توان تمهیدات ویژه‌ای به ویژه بر روی قنوات مذکور انجام داد تا در موقع زلزله آسیب کمتری به این سازه‌های آبی قدیمی وارد شود.

با وجود اینکه پرداختن به دلیل تفاوت در فاصله تأثیر بین قنوات و چاه‌ها با گسل‌های منطقه موضوع اصلی این تحقیق نیست ولی شاید بتوان دلیل این تغییرات را در دو بخش جستجو کرد، یکی در تفاوت‌های موجود بین مکانیسم ایجاد و عملکرد چاه‌ها و قنوات و دیگری نحوه عملکرد گسل‌ها بر روی لایه‌های رسوبات زیرزمینی و جابجایی آنها. به طوری که می‌دانیم سازه قنات از کanal افقی تشکیل شده که باعث انتقال آب از لایه‌های آبدار به سطح زمین می‌شود، قنوات گسله دشت سیرجان معمولاً دارای طول کanal کمتر از ۲ کیلومتر هستند، بنابراین وجود ارتباط تا ۲ کیلومتری از گسل‌ها بدین صورت قابل توجیه است. در یک آبخوان گسلی همان‌طور که

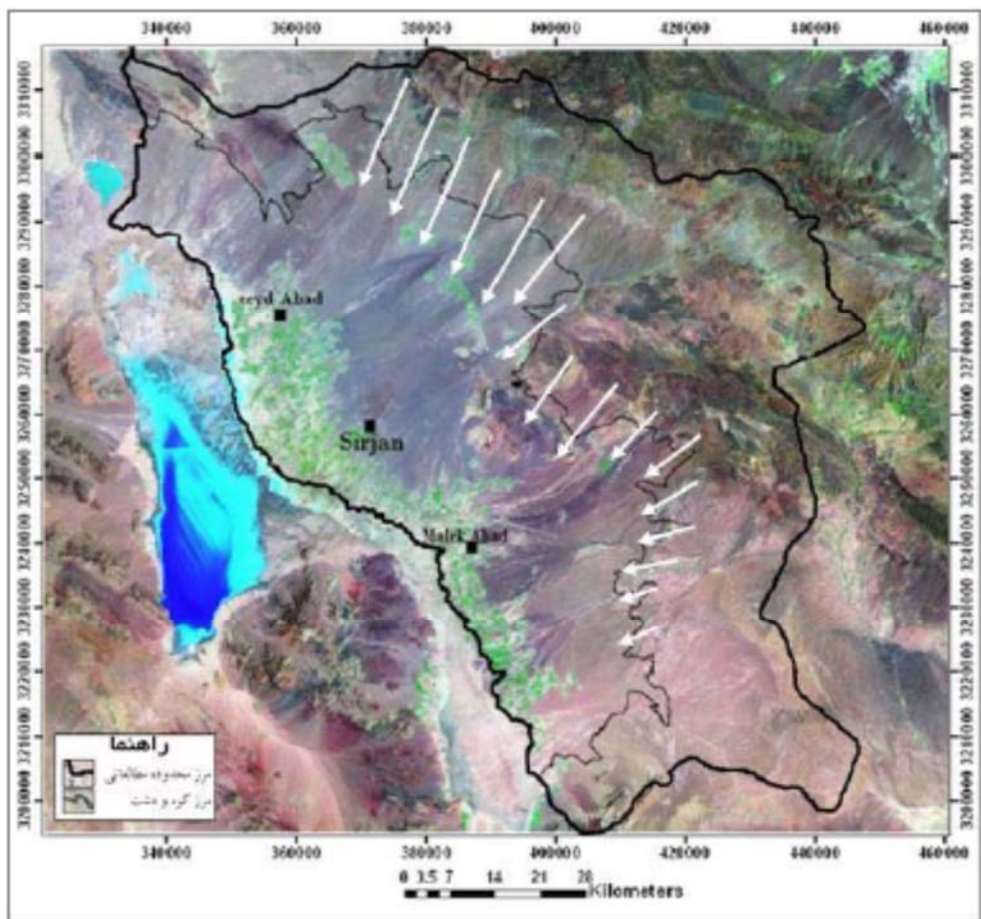
۱۸۱
دشت کنترل شده است. علاوه بر گسل‌ها، عوامل توپوگرافی دیگری نیز در شکل‌گیری آبخوان‌ها نقش دارند، از آن جمله می‌توان به مخروط‌افکنه‌ها، ضخامت آبرفت و شیب سطح زمین، اشاره کرد [Alaei Taleghani & SaeediKia, 2013]. آبخوان دشت سیргان نیز همان‌طور که در شکل ۶ مشخص است، تحت تأثیر توپوگرافی منطقه قرار دارد، به طوری که وجود مخروط افکنه‌ها در بخش‌های شرقی و شمال شرقی دشت می‌تواند از عوامل مهم تغذیه آن باشد. علاوه بر آنکه جهت شیب دشت نیز از شرق به غرب بوده و به جریان کلی آب زیرزمینی کمک می‌کند.



شکل ۵) نمایش شماتیک اثر گسل بر لایه آبخوان، با کمی تغییرات برگرفته از [Kresic & Stevanovic, 2010]

در شکل ۵ مشاهده می‌شود، همواره دیواره گسل تا اعمق ادامه یافته و درنتیجه باعث می‌شود تا لایه آبخوان متاثر از آن نیز تا اعمق ادامه یابد، بنابراین با توجه به اینکه با پیشرفت تکنولوژی در هر محلی و فاصله‌ای از محور گسل می‌توان به حفر چاه پرداخت و به لایه آبخوان رسید، پس این مطلب می‌تواند دلیلی بر وجود ارتباط بین چاه‌ها و گسل‌ها با فاصله نسبتاً بیشتر از محور گسل (مانند آنچه در این تحقیق به دست آمده) باشد. همچنین نتایج به دست آمده از [Hashemi et al, 2010; Kiani & Yousefi, 2017; Hernandez & Berbi, 2012; Ammar & Kamal, 2018] در این زمینه همخوانی دارد.

از آنجایی که عمدۀ تغذیه سفره آبرفتی سیргان توسط ارتفاعات بخش شمال شرقی به ویژه آهک‌های متعلق به دوران سوم زمین‌شناسی صورت می‌گیرد (شکل ۶) و همچنین جهت کلی جریان آب زیرزمینی دشت نیز از سمت شمال شرقی به سمت جنوب و جنوب غربی است [Abassnejad & Shahidasht, 2013]. در نتیجه می‌توان گسل‌های شمال شرقی منطقه مورد مطالعه (گسل‌های بلورد و شهریابک) را در ایجاد آبخوان دشت سیргان مؤثر دانست، به طوری که این گسل‌ها با جایه‌جایی لایه‌های آبخوان شده‌اند. علاوه بر آن، همان‌طور که از تلفیق اشکال ۲ و ۶ نیز کاملاً مشهود است، موقعیت آبخوان دشت سیргان توسط گسل‌های شمال شرقی



شکل ۶) جریان‌های تغذیه‌ای سفره آبی دشت سیргان [Abbasnejad & Shahidasht, 2013]

نتیجه‌گیری

گسل‌های کواترنری، پتانسیل تغذیه سفره‌های آب زیرزمینی دشت سیرجان با توجه به شرایط اقلیمی و جغرافیایی خشک و نیمه‌خشک آن و افزایش نیازهای روزافزون به منابع آبی بیشتر را دارد.

تشکر و قدردانی: موردی از سوی نویسنده‌گان گزارش نشده است.

تأثیدیه اخلاقی: موردی از سوی نویسنده‌گان گزارش نشده است.

تعارض منافع: موردی از سوی نویسنده‌گان گزارش نشده است.

سهم نویسنده‌گان: علی مهرابی (نویسنده اول)، نگارنده بحث/پژوهشگر اصلی (%۵۰)؛ محسن پورخسروانی (نویسنده دوم)، پژوهشگر کمکی/تحلیلگر (%۵۰).

منابع مالی: موردی از سوی نویسنده‌گان گزارش نشده است.

منابع

- Dehbozorgi M, Rezaie M (2016). Quaternary active faults effect on the abundance of underground water resources in Maharlou basin, Central Zagros. *Quaternary Journal of Iran*. 1(4):281-291. [Persian]
- Dortz K, Meyer B, S'ebrier M, Braucher R, Nazari H (2011). Dating inset terraces and offset fans along the Dehshir Fault (Iran) combining cosmogenic and OSL methods. *Geophysics*. 185(3):1147-1174.
- Foroutan M, Nazari H, Meyer B, S'ebrier M (2011). Late pleistocene-holocene right-slip rate of the Dehshir Fault, Central Iran Plateau. *Earth Sciences*. 21(82):195-206. [Persian]
- Hashemi SN, Taghipor N, Ghosheie M, Zare H (2010). Investigating the role of major faults in controlling the frequency of groundwater resources in Semnan province. Proceedings of the first national conference on water resources exploitation. Kermanshah: Kermanshah University of Technology. p. 15-24. [Persian]
- Hernandez M, Burbey T (2012). Fault-controlled deformation and stress from pumping-induced groundwater flow. *Hydrology*. 428-429:80-93.
- Kazemi R, Ghayoumian G, Jalali N (2005). Investigation the effect of structural elements on the karst water resource abundance in the LAR catchment's using RS and GIS. *Pajouhesh & Sazandegi*. 19(3):33-41. [Persian]
- Kiani T, Yousefi Z (2017). Effect of active faults in the groundwater level of Shaharchay basin in Urmia. *Applied Geosciences Research Journal*. 17(74):61-75. [Persian]
- Mehrabi A, Derakhshani R (2010). Generation of integrated geochemical-geological predictive model of porphyry-Cu potential. Chahargonbad district, Iran. *Geochemica ET Cosmochimica Acta*. 74(12):694-A694.
- Mehrabi A, Derakhshani R, Rahnama-Rad J (2009). Spatial association of mineralization and fractures in meiduk porphyry copper mine. *Journal of Geotechnical Geology (Applied Geology)*. 5(2):148-155.
- Mehrnehad H, Mehrshahi D (2005). Structural analysis and seismotectonics of Dashir Fault. *Geographical Research Quarterly*. 78:118-127. [Persian]
- Mohajjal M, Fergusson CL, Sahandi MR (2003). Cretaceous-tertiary convergence and continental collision, Sanandaj-Sirjan zone, Eastern Iran. *Journal of Asian Earth Sciences*. 21(4):397-412.
- Najib M, Aboali H, Mirheydari F, Ranjbar M (2013). Study of the effects of earthquake on observation wells and springs of Varzagan and Billardy-Harris regions. Proceeding of 5th Iranian Water Resources Management Conference. Tehran, Iran Water Resources Science and Engineering Society. Tehran: Shahid Beheshti University. [Persian]
- Nespoli M, Todesco M, Serpelloni E, Belardinelli ME (2016). Modeling earthquake effects on groundwater levels: Evidences from the 2012 Emilia earthquake (Italy). *Physics of the Earth and Planetary Interiors*. 16(3):452-463.
- Pamela A, Sadisun I, Arifianti Y (2017). Weights of evidence method for landslide susceptibility mapping in Takengon, central Aceh, Indonesia. Proceeding of IOP Conference Series: Earth and Environmental Science. 118:1.
- Pourkermani M, Arian M (1997). Seismotectonic book. 1st Edition. Tehran: Alavi Publication. [Persian]
- Abassnejad A, Shahidasht AR (2013). Vulnerability of Sirjan plain due to aquifer over abstraction. *Management System*. 3(7):85-96. [Persian]
- Abdullahi S, Pradhan B (2016). Sustainable Brownfields Land use change modeling using GIS-based weights-of-evidence approach. *Applied Spatial Analysis and Policy*. 9(1):21-38.
- Agard P, Omrani J, Jolivet L, Mouthereau F (2005). Convergence history across Zagros (Iran), constraints from collisional and earlier deformation. *Earth Sciences*. 94(3):401-419.
- Alaei Taleghani M, SaeediKia M (2013). The role of geomorphologic factors in formation and nourishing of underground water table (Case study: Zahab Plain). *Geographical Reserches Quarterly Journal*. 28(2):171-186. [Persian]
- Aliabadi K, Zangeneh MA, Shayegan AA, Jamalabadi J, Hamidian AR (2014). The role of active tectonics and tectonic lineaments in the development of underground aquifers in Sabzevar plain using RS & GIS. *Applied Geomorphology*. 2(4):16-30. [Persian]
- Alonso CA, Rios-Sánchez M, Gierke JS (2008). Lineament mapping for groundwater exploration using remotely sensed imagery in different terrains. *Environmental Sciences*. 1:81-88.
- Ammar AL, Kamal KA (2018). Resistivity method contribution in determining of fault zone and hydrogeophysical characteristics of carbonate aquifer, eastern desert, Egypt. *Applied Water Science*. 8:1.
- Armas I (2012). Weights of evidence method for landslide susceptibility mapping Prahova Subcarpathians, Romania. *Natural Hazards*. 60(3):937-950.
- Azadikhah A, Bouzari S, Yassaghi A, Emami MH (2015). Formation of extensional basin in internal part of the Zagros orogeny in west of Sirjan, Iran. *Geology*. 5(11):821-827.
- Carranza EMC (2009). Controls on mineral deposit occurrence inferred from analysis of their spatial pattern and spatial association with geological features. *Ore Geology Reviews*. 35(3):383-400.